

بررسی عملکرد نانوفیلتراسیون در حذف یونهای آب پرس تفاله چخندر قند

مصطفی شهیدی نو قابی^{۱*} - سید محمد علی رضوی^۲ - سید محمود موسوی^۳ - محمد الهی^۴

تاریخ دریافت: ۱۳۹۰/۲/۷

تاریخ پذیرش: ۱۳۹۰/۱۱/۲۵

چکیده

از مهمترین پتانسیل های غشاها نانوفیلتراسیون حذف یون ها از آب ها و پساب ها با اهداف مختلف است. از جمله این اهداف می توان به سختی زدائی از آب آشامیدنی، حذف یون های فلزات سنگین و تصفیه فاضلاب ها برای استفاده مجدد از آنها اشاره نمود. در این تحقیق از غشاء نانو فیلتراسیون برای حذف مهمترین یون های موجود در آب پرس تفاله چخندر قند (Na^+ , K^+ , Ca^{2+} , Mg^{2+} , SO_4^{2-} , Cl^-) با هدف استفاده مجدد از آن استفاده شده است. اثر پارامترهای عملیاتی (دما و فشار) و غلظت بر پارامترهای کارایی فرآیند فیلتراسیون غشا (شار تراوه، گرفتگی و درصد دفع اجزاء) مورد بحث و بررسی قرار گرفته است. نتایج نشان داد که با افزایش دما شار تراوه، گرفتگی افزایش و درصد دفع یون ها کاهش می یابد و با افزایش اختلاف فشار، شار تراوه، گرفتگی و درصد دفع یون ها افزایش می یابد. هم چنین نتایج حاکی از آن است که افزایش بریکس، افزایش گرفتگی و کاهش شار و درصد دفع را به همراه خواهد داشت.

واژه های کلیدی: آب پرس تفاله چخندر، نانوفیلتراسیون، شار، گرفتگی، دفع یون ها

صرف انرژی برای این عمل است (Timmer & Keurentjes, 1999).

مقدمه

یک از خواص مهم غشاها NF این است که وقتی در تماس با محلول آبی قرار می گیرند در نتیجه تفکیک گروههای عملکردی سطح و یا جذب اجزاء محلول باردار، بطور جزئی باردار می شوند (Rautenbach & Gröschl, 1990; Tay *et al.*, 2002) جداسازی غشاها NF شدیداً وابسته به الگوی عملیات، مثل دیافیلتراسیون^۸ (Dutre & Tragardh, 1994) و خصوصیات اجزاء محلول از جمله قطبیت^۹، بار و میزان pH محلول است (Hagmeyer & Gimbel, 1998; Schaep *et al.*, 1998a; Van der Bruggen *et al.*, 1999; Xu, & Lebrun, 1999) سه پارامتر برای عملیات واحد (نانو)فیلتراسیون حیاتی تلقی می گردد. تراوش پذیری حلال^{۱۰} یا شار^{۱۱} از میان غشاء، گرفتگی و دفع اجزاء محلول^{۱۲}. شار (J) یا تراوش پذیری (شار به ازاء واحد فشار

نانوفیلتراسیون (NF^۵) غشا می باشد که این اولترافیلتراسیون (UF^۶) و اسمز معکوس (RO^۷) قرار می گیرد. تاریخچه غشاء NF به دهه ۱۹۷۰ بر می گردد، زمانی که غشاها RO با شار بهتر و منطقی تر در فشارهای نسبتاً پائین گسترش یافت (Van der Bruggen, & Vandecasteele, 2003; Van der Bruggen *et al.*, 2003). در نیمه دوم دهه ۱۹۸۰، اولین کاربرد نانوفیلتراسیون گزارش شد (Conlon *et al.*, 1989; Eriksson, 1988) در این میان صنایع آب آشامیدنی، اصلی ترین مصرف کننده NF بود. دورنمای جدید برای تکنولوژی غشا، استفاده مجدد از آب و کاهش

۱- دانشجوی سابق دکتری گروه علوم و صنایع غذایی، دانشگاه فردوسی مشهد و استادیار پژوهشکده علوم و صنایع غذایی، مشهد

۲- نویسنده مسئول: (Email: Shahidi_mostafa@yahoo.com)

۳- استاد و استادیار گروه علوم و صنایع غذایی، دانشکده کشاورزی، دانشگاه

فردوسي مشهد

۴- استاد گروه مهندسی شیمی، دانشکده مهندسی، دانشگاه فردوسی مشهد

۵- Nanofiltration

۶- Ultrafiltration

۷- Revers Osmosis

8 - Diafiltration

9- Polarity

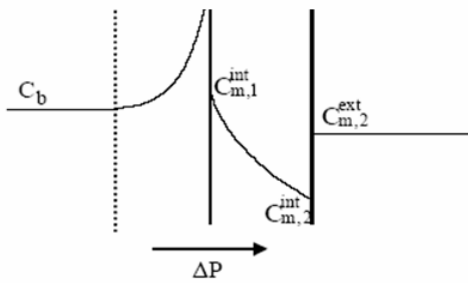
10- Solvent permeability

11- Flux

12- Solute Rejection

امروزه بیشتر از مکانیسم‌های بازداری فضایی و ممانعت دونان برای تفسیر داده‌های تجربی دفع استفاده می‌شود (Timmer, 2001).

لایه مرزی غشاء تراووه توودسیال



شکل ۱- انتقال جرم در نانوفیلتراسیون

مشکلی که در اغلب کاربردهای غشاء‌های NF با آن مواجه هستیم، کاهش شار تراووه برای محلول‌های خوراک واقعی در مقایسه با شار آب مقتدر است. علاوه بر پلاریزاسیون غلظت و تشکیل ژل، مکانیسم دیگر کاهش شار، گرفتگی یا انسداد حفرات غشاء است (Wiesner & Chellam, 1999). گرفتگی در نتیجه رسوب ترکیبات غیرآلی همچون CaSO_4 , CaCO_3 , BaPO_4 ، ته نشینی ترکیبات آلی (Her et al., 2000; Lee & Her et al., 2000), $\text{Ca}_3(\text{PO}_4)_2$, Al_2SiO_5 (Van der Bruggen, & Vandecasteele, 2002) کلودیدها و مواد جامد سوسپانسیونی (Vrouwenvelder et al., 1998; Van der Bruggen, & Vandecasteele, 2002) احتمالاً به علت رشد باکتری‌ها روی سطح غشاء (گرفتگی بیولوژیکی^{۱۱}) (Vrouwenvelder et al., 1998) به وجود می‌آید. گرفتگی را می‌توان به صورت کاهش شار برگشت ناپذیر که می‌توان آن را تمیز کننده‌های شیمیایی برطرف نمود تعریف کرد.

آب پرس تفاله چندر، جریانی است که در نتیجه پرس کردن تفاله چندری که قند آن طی فرآیند دیفوژیون استخراج گشته است به دست می‌آید (شکل ۲).

آب پرس یک محلول رقیق حاوی ۱-۳ درصد ماده جامد بوده، که ۸۰-۶۰٪ درصد آن قند و بقیه آن ناخالصی‌هایی مثل نمک‌ها، کلودیدها، و مواد جامد سوسپانسیونی است (Bogliolo et al., 1996). از آنجایی که حجم آب پرس تفاله چندر قند در کارخانجات قند بسیار بالاست (تقریباً حدود ۴۰/۶-۰/۴ کیلوگرم به ازای هر کیلوگرم چندر ورودی)، بنابراین برای مثال در یک کارخانه طی فرآیند ۵۰۰۰ تن چندر قند در روز، حداقل ۳۰۰۰ تن آب پرس به دست می‌آید (Bogliolo et al., 1996). مatasفانه حضور ساکارز و ناخالصی‌ها در آب پرس تاثیر بسیار نامطلوبی بر کارایی استخراج ساکارز در مرحله دیفوژیون می‌گذارد، به طوری که بخشی از ساکارز

به کار گرفته شده یک پارامتر حیاتی در فرآیندهای میتنی بر نیرو محركه فشار از جمله NF است. فرآیند انتقال جرم در نانوفیلتراسیون در شکل ۱ نشان داده شده است. هنگامی که اختلاف فشار ΔP به یک مایع، در مجاورت یک غشاء نیمه تراوا اعمال می‌گردد، حلال از میان غشاء عبور خواهد کرد. جزئی که از غشاء عبور می‌کند به عنوان تراووه^۱ و بخشی که توسط غشاء نگه داشته می‌شود به عنوان نا تراووه^۲ شناخته می‌شود. ماده حل شده خنثی در حلال در سطح غلاظتی C_b به سمت غشاء جریان می‌یابد. اگر غشاء آن جزء محلول را دفع کند، تراووه جزئی^۳ رخ خواهد داد. اجزاء تراووه نیافته محلول در لایه مرزی^۴ تجمع می‌یابند و پس از آن شب غلاظت افزایش خواهد یافت.

این پدیده پلاریزاسیون غلظت^۵ (Huang, 1991, Mulder, 1991) نامیده می‌شود. به بیان دیگر می‌توان گفت که بخشی از اجزاء محلول خواراک که به طریق جابجایی به سمت غشاء می‌رود از آن عبور می‌نماید و بر روی سطح غشاء باقی می‌مانند. هنگامی که غلاظت این اجزاء در سطح غشاء به حد معینی رسید پدیده نفوذ برگشتی^۶ رخ می‌دهد. اگر مجموع مقدار عبور کرده و مقداری باشد که از توode سیال از طریق جابجایی به سطح غشاء می‌آید در این صورت ترکیبات در کنار غشاء تجمع می‌یابند که به آن پلاریزاسیون غلاظت گویند. جزء محلول در حد فاصل غشاء / محلول توزیع می‌یابد و از طریق جابجایی^۷ و نفوذ^۸ از میان غشاء انتقال می‌یابد. در سمت تراووه یک فرآیند توزیع ثانوی اتفاق خواهد افتاد و غلاظت نهایی جزء $C_{m,2}^{ext}$ محلول در تراووه به خواهد رسید. دفع در غشاء‌های NF اساساً بر اساس اندازه مولکولی، آبگریزی و بار الکتریکی تعیین شود اما اثرات دیگر از جمله شکل مولکولی و گشتاور دوقطبی^۹ نیز ممکن است در این مورد نقش ایفا کنند.

اغلب غشاء‌های نانوفیلتراسیونی که امروزه تولید می‌شوند باردار هستند. غشاء‌های باردار معمولاً در سه نوع باردار منفی، باردار مثبت و ترکیبی از این دو یعنی غشاء دو قطبی^{۱۰} موجود می‌باشد. محققین معتقدند که مکانیسم دفع اجزاء در نانوفیلتراسیون شامل بارداری فضایی یا اثر غربالی، ممانعت دونان و ممانعت دی الکتریک است که

1- Permeate

2 - Retentate

3- Partial permeation

4- Boundary layer

5- Concentration polarisation

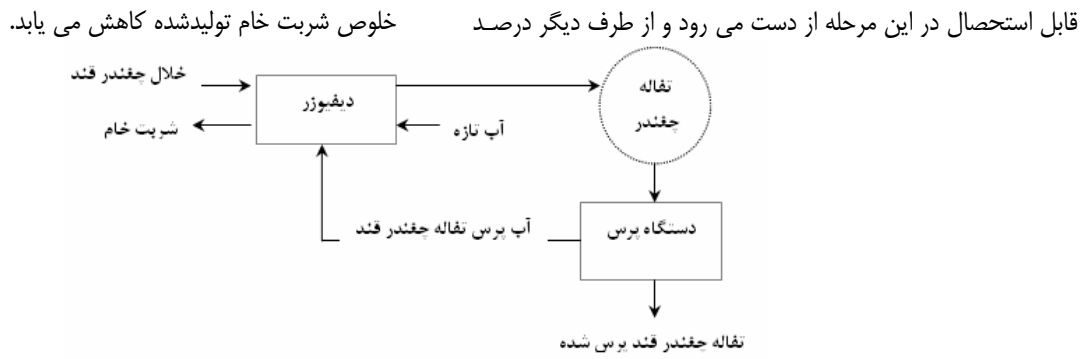
6 - Back diffusive

7- Convection

8- Diffusion

9- Dipol moment

10 - Bipolar memberane



شکل ۲- نحوه تولید آب پرس نفاله چغندر قند و استفاده مجدد از آن در دستگاه دیفیوژر(۶)

بررسی کردند و به این نتیجه رسیدند که فشار و محتوای مواد جامد سوسپانسیونی بالاتر، دفع را افزایش می‌دهد در حالی که مقادیر دفع، در قدرت یونی بالاتر تا حدودی کمتر است. Afonso و Yafiez سال ۲۰۰۱ از سیستم غشایی NF برای تصفیه پساب حاصل از تولید خوراک ماهی استفاده نمودند. نتایج تحقیقات آنها نشان داد که NF میزان مواد آلی و نمک موجود در فاضلاب را کاهش می‌دهد. Wang و همکارانش (۲۰۰۲) جadasازی ساکاریدها را از محلول NaCl با استفاده از غشاء نانوفیلتراسیون (محصول شرکت Dow chemical) مورد مطالعه قرار داد. در این مطالعه آن‌ها به این نتیجه رسیدند که غلظت NaCl بر دفع گلوکز موثر است، در حالیکه دفع NaCl به وسیله گلوکز تحت تاثیر قرار نمی‌گیرد. Bargeman و همکاران (۲۰۰۵) نانوفیلتراسیون سیستم‌های چند جزئی به لحاظ بر همکنش بین ترکیبات باردار و بدون بار و اثر آن بر دفع این ترکیبات را مورد مطالعه قرار دادند. نتایج این پژوهشگران نشان می‌دهد که حضور یون‌های نمکی، خصوصاً آن‌هایی که کمتر توسط غشاء دفع می‌شوند، منجر به کاهش دفع ترکیبات خنثی (گلوکز) می‌شود و این کاهش دفع بستگی به نوع غشاء دارد. Mohammad و همکاران (۲۰۱۰)، نانوفیلتراسیون محلول گلوکز حاوی نمک‌ها را مورد بررسی قرار دادند. به عقیده این محققین در ک نانوفیلتراسیون، خصوصاً دفع اجزاء محلول بدون بار، باردار و مخلوط آن‌ها، در به کارگیری آن در صنایع غذایی بسیار حیاتی است.

مواد و روش‌ها

در این تحقیق از یک سیستم پایلوت غشایی جریان عرضی NF برای فرآیند نانوفیلتراسیون آب پرس نفاله چغندر قند استفاده شد. همان طور که در شکل ۳ ملاحظه می‌شود این سیستم غشایی شامل یک تانک تغذیه [۱]، پمپ پیستونی [۲]، دبی سنج [۳]، مدول غشاء NF [۴]، دو فشار سنج عقربه‌ای [۵ و ۷]، مبدل حرارتی لوله‌ای [۹]،

به طور کلی ورود هرگونه ناخالصی به دیفیوژر مطلوب نیست. اثر نامطلوب ورود ناخالصی به مرحله دیفیوژیون از دو دیدگاه حائز اهمیت است. اول اینکه این ناخالصی‌ها در استخراج ساکارز در دیفیوژر ایجاد اختلال می‌کنند و دوم اینکه برخی از آنها طی مراحل تصفیه شربت خام حذف نشده و در مرحله کریستالیزاسیون راندمان استحصال را کاهش می‌دهند. از آنجایی که هدف از این تحقیق حذف این ناخالصی‌ها است لذا حذف یون‌ها خصوصاً آنهایی که ضریب ملاس زایی بالا تری دارند در این تحقیق مورد توجه قرار گرفته است. بررسی منابع نشان می‌دهد که جریان آب پرس نفاله چغندر قند، چه از دیدگاه شیمیایی و شناخت ترکیبات موجود در آن و چه از دیدگاه تکنولوژی و اثر تصفیه آن بر راندمان کارخانه، چندان مورد توجه قرار نگرفته است. در تائید این موضوع شاید ذکر این نکته که تنها یک مقاله در زمینه تصفیه این آب و آن هم توسط غشاء اسمز معکوس تا کون انتشار یافته است کفايت می‌کند. بنابراین نیاز به تحقیق در این زمینه به ویژه برای کشور ایران، که هم با کمبود آب مواجه بوده و استفاده مجدد آب در آن از اهمیت ویژه‌ای بر خوردار است، و هم راندمان کارخانه‌های قند در آن کمتر از کشورهای صنعتی است، کاملاً محسوس است. با این حال تحقیقات گسترده‌ای در زمینه حذف ترکیبات مختلف و از جمله یون‌ها توسط نانوفیلتراسیون انجام شده است. به عنوان مثال می‌توان به بررسی‌های محققین برای سختی زدائی^۱ از آب، با استفاده از نانوفیلتراسیون اشاره داشت (Bergrnan, 1995; Schaep *et al.*, 1998b) و همکاران Schaep و همکاران (۱۹۹۸b) از چند نوع غشاء نانوفیلتراسیون برای حذف سختی از آب استفاده کردند. آنها اعلام کردند که نانوفیلتراسیون بیش از ۹۰ درصد یون‌های چند ظرفیتی و حدود ۷۰-۶۰ درصد یون‌های تک ظرفیتی را دفع می‌کند. Visvanathan و همکاران (۱۹۹۸) اثر حضور یون‌ها، فشار عملیاتی، خوراک، pH و مواد جامد سوسپانسیونی بر خصوصیات دفع غشاء نانوفیلتراسیون را

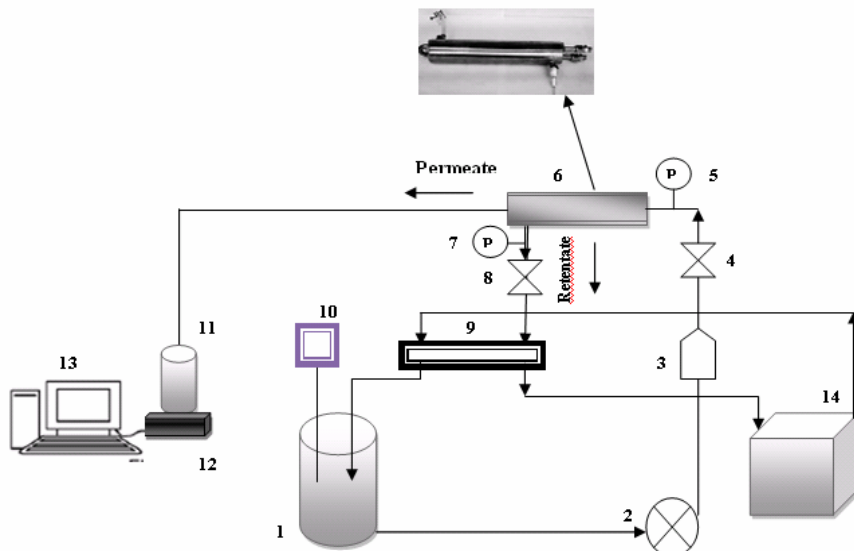
ظرف ۲۰ لیتری تخلیه و درون سردخانه زیر صفر در دمای -20°C تا زمان انجام آزمایشات نگهداری گردید. برای انجام هر بار عملیات نانوفیلتراسیون آب پرس تفاله چغندر قند، ابتدا حدود ۱۵–۲۰ لیتر آب پرس تفاله چغندر قند یخ زدایی^۱ شده و دمای آن به دمای مورد نظر برای آن عملیات می‌رسید. در مرحله بعد شربت توسط صافی پارچه‌ای چهار لایه جهت حذف ذرات موجود در آن صاف می‌شد.

سپس عملیات نانوفیلتراسیون آب پرس تفاله چغندر قند چغندر در ۵ مرحله زیر انجام می‌شد:

۱- فیلتراسیون آب مقطر از درون غشاء تمیز برای مدت ۱۵–۲۰ دقیقه

دماسنجر دیجیتال [۱۰]، دو شیر کنترل جریان [۴ و ۸]، ظرف جمع آوری فاز تراواه [۱۱] یک ترازوی الکترونیکی قابل اتصال به کامپیوتر [۱۲]، کامپیوتر [۱۳] و هیتر برقی [۱۴] برای تنظیم دما محلول می‌باشد. مشخصات فنی سیستم غشایی در جدول ۱ به صورت خلاصه آورده شده است.

در این مطالعه، آب پرس تفاله چغندر قند به عنوان خوراک سیستم پایلوت NF از کارخانه قند آبکوه تهیه شد. به علت کوتاه بودن زمان بهره‌برداری کارخانجات قند، آب پرس تفاله چغندر قند به مقدار مورد نیاز برای کل پروژه خردباری و پس از اختلاط تمامی نمونه‌ها در تانکری با حجم بالا جهت اطمینان از یکنواخت شدن آنها، در



شکل ۳- شماتیک سیستم NF به کارگرفته شده جهت نانوفیلتراسیون آب پرس تفاله چغندر قند^۱

جدول-۱- مشخصات فنی سیستم پایلوتی غشاء نانوفیلتراسیون

AFC80	نوع غشاء
فیلم پلی آمید ^۲	جنس غشاء
240 cm^2	سطح موثر غشاء
0.68 nm	قطر منفذ غشاء (۱۲)
$1/5-10/5$	pH دامنه تحمل
تا 70°C درجه سانتی گراد	دامنه تحمل دما
۶۰ بار	حداکثر فشار قابل تحمل
خصوصیت دفع ظاهری ^۳ در محلول $1\text{ gr NaCl}/100\text{ ml}$ در فشار ۲۰ بار (۱۳)	نوع مدل
MIC-RO 240	

1- Defrosting & thawing

2 - Polyamide film

3 - Apparent Retention Character

4 - Tubular

درجه سانتی گراد) بر کارایی فرآیند نانوفیلتراسیون آب پرس تفاله چندر قند (شار تراوه، گرفتگی غشاء در صد دفع یون های سدیم، پتاسیم، منیزیم، کلسیم، کلر و سولفات) مورد بررسی قرار گرفت.

نتایج و بحث

همانطور که قبل این بدان اشاره شد از پارامترهای مهم کارایی یک فرآیند غشایی شار تراوه، گرفتگی و درصد دفع اجزاء مورد نظر است. لذا در این تحقیق این موارد در تصفیه آب پرس تفاله در نظر گرفته شد و در این بخش به نتایج مربوط به آن اشاره می گردد.

اثر پارامترهای عملیاتی بر شار تراوه اثر غلظت

شکل ۴ اثر بریکس بر میزان شار تراوه نانوفیلتراسیون آب پرس تفاله چندر قند را نشان می دهد. همان طور که از این شکل پیدا است، با افزایش بریکس شار تراوه کاهش می یابد. علت این رویداد این است که با افزایش غلظت، فشار اسمزی در سمت خوراک افزایش یافته و در نتیجه نیرو محركه برای تراوش یافتن تراوه در عرض غشاء کاهش می یابد، چراکه در این حالت فشار اسمزی در جهت عکس اختلاف فشار عرضی (که توسط پمپ ایجاد می شود) عمل می کند. البته باید توجه داشت که با افزایش غلظت لایه پلازیاسون غلظت نیز ضخیم تر تشکیل شده که می تواند در برابر عبور تراوه مقاومت نشان دهد. هم چنین با افزایش غلظت، عوال ایجاد گرفتگی در غشاء نشان دهد. هم چنین با افزایش یافته و باعث گرفتگی بیشتر غشاء نسبت در نزدیکی سطح آن افزایش یافته و باعث گرفتگی در غشاء به غلظت های کمتر می شود و این موضوع نیز در کاهش شار تراوه با افزایش غلظت موثر است. نکته قابل توجه در این شکل این است که در بسیاری از حالات، شار از همان دقایق اولیه تقریباً به حالت پایا رسیده است. البته کاهش شار با زمان به مقدار کمی مشاهده می شود اما این کاهش چندان محسوس نیست.

اثر دما

نتایج حاصل از داده های آزمایشگاهی نشان داد که با افزایش دمای خوراک ورودی، میزان شار تراوه آب پرس تفاله افزایش می یابد (شکل ۵). این موضوع به دلیل کاهش ویسکوزیته حلال و افزایش ضریب نفوذ حلال در غشاء و تحرک بیشتر زنجیره های پلی مری غشاء در دماهای بالاتر است (Wang *et al.*, 2007). جدول ۲ ویسکوزیته آب پرس تفاله چندر قند را در بریکس ها و دماهای مختلف نشان می دهد.

۲- فیلتراسیون نمونه آب پرس تفاله، از درون غشاء تمیز برای مدت ۶۰ دقیقه

۳- فیلتراسیون آب مقطر از درون غشاء مسدود شده برای مدت ۱۰-۱۵ دقیقه

۴- سیکل شستشوی در جا^۱ مطابق دستورالعمل شرکت تولید کننده غشاء.

۵- فیلتراسیون آب مقطر از درون غشاء شسته شده برای مدت ۱۰-۱۵ دقیقه.

شار آب مقطر و جربان فاز تراوه آب پرس تفاله چندر قند بر حسب $\text{kgm}^{-2}\text{s}^{-1}$ در فواصل زمانی ۱ دقیقه ای و از طریق ثبت وزن آب مقطر / فاز تراوه توسط یک ترازوی دیجیتالی و سپس جاگذاری مقادیر حاصل در فرمول ۱ بدست می آمد (Decloux *et al.*, 2000):

$$(1) J = \frac{(W_2 - W_1)}{(t \times A)}$$

W_1 : وزن خوانده شده در زمان t_1 (kg)

W_2 : وزن خوانده شده در زمان t_2 (kg)

t : فاصله زمانی بین خواندن دو وزن (s)

A : سطح غشاء (m^2)

هدف از مرحله اول و پنجم تعیین شار آب مقطر (J_w) و کنترل شار روزانه غشاء دستگاه بوده است. با توجه به داده های مرحله دوم، شار تراوه آب پرس تفاله چندر قند (J_p) بدست می آید. هدف از مرحله سوم تعیین شار آب مقطر در غشاء مسدود شده (J_{WF}) و محاسبه درصد گرفتگی غشاء بر اساس فرمول ۲ بوده است (شهیدی، ۱۳۸۵).

$$(2) Fouling(%) = \frac{1}{(J_{WF} - J_w)} \times 100$$

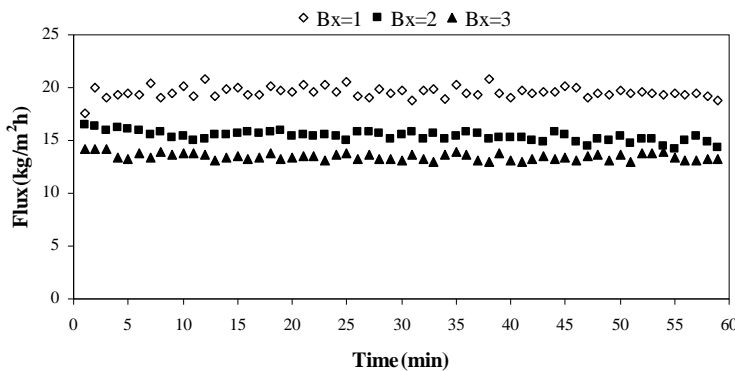
جهت بررسی درصد دفع یون های ملاس زای موجود در آب پرس تفاله چندر قند، مقادیر یون های سدیم، پتاسیم، منیزیم و کلسیم از فرآیند نانوفیلتراسیون با استفاده از دستگاه بتلایزر (Mdl Dr.Wolfgang Kernchen, Germany) ساخت شرکت Dr. بررسی و تحقیقات چندر قند خراسان رضوی اندازه گیری شد. کلراید و منیزیم به روش تیتراسیون با EDTA و بر اساس دستورالعمل GS7-19, 1994 (ICUMSA Method GS8-11, 1994) دستورالعمل GS8-11, 1994 (ICUMSA Method GS8-11, 1994) و اساس دستورالعمل AOAC 973.57 (Method) قبل و بعد از فرآیند نانوفیلتراسیون اندازه گیری شد و با توجه به فرمول ۳ درصد دفع یون های مذکور محاسبه گردید:

$$(3) R = 1 - \frac{C_{m,2}^{ert}}{C_b} \times 100$$

بطور خلاصه در این پژوهه اثر عوامل مختلف فرآیند نانوفیلتراسیون نظیر اختلاف فشار در عرض غشاء (TMP)^۲ در ۳ سطح (۱۰، ۱۵ و ۲۰ بار)، دمای فرآیند در ۳ سطح (۴۰، ۴۵ و ۵۵

1- Cleaning-In-Place (CIP)

2 - Transmembrane pressure (TMP)



شکل ۴- اثر درصد مواد جامد محلول بر شار تراوه آب پرس تفاله چغnder قند (دما ۵۵ °C و فشار ۱۵ بار)

جدول ۲- ویسکوزیته آب و آب پرس تفاله چغnder (بابریکس های مختلف) در دمای های مختلف

آب پرس تفاله ($10^{-6} \text{m}^2 \text{s}^{-1}$)	آب ($10^{-6} \text{m}^2 \text{s}^{-1}$)	بریکس ۱	بریکس ۲	بریکس ۳	دما (°C)
۰/۸۸۴	۰/۰۲۳	۰/۹۲۸	۰/۹۰۵	۲۵	
۰/۶۵۸	۰/۷۵۶	۰/۷۲۴	۰/۷۱۲	۴۰	
۰/۵۱۷	۰/۶۱۱	۰/۶۰۵	۰/۵۶۰	۵۵	

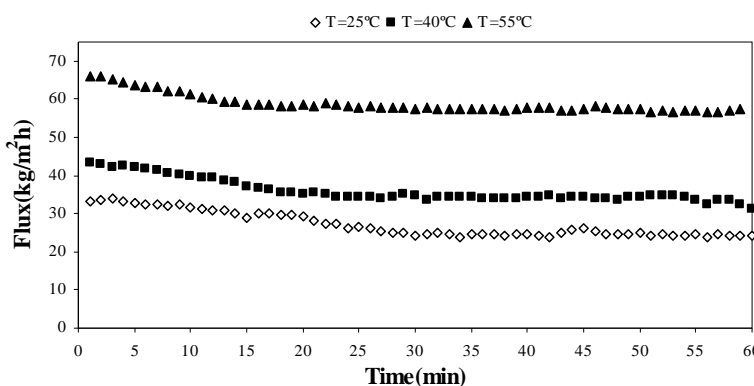
۵۵°C نیز قابل بررسی است.

Kaya و همکاران (۲۰۰۹) نیز نتایج مشابهی در زمینه اثر دما بر شار تراوه گزارش نموده اند. این محققین اثر pH، دما و فشار را بر رفتار شار نانوفیلتراسیون پسآب حاصل از CIP کارخانه تولید مواد شوینده مورد مطالعه قرار دادند. دو دمای ۲۵ و ۴۰ درجه در کار این محققین مورد بررسی قرار گرفت. نتایج مطالعات این محققین ممید نتایج حاصل تحقیق اخیر مبنی بر شدیدتر بودن میزان کاهش شار در دمای های بالاتر، نسبت به دمای های پایین تر است.

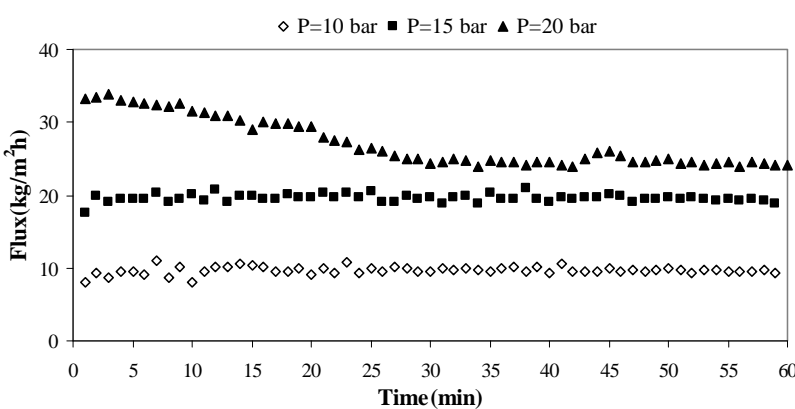
اثر اختلاف فشار

Fersi و Dhahbi (۲۰۰۸) نیز افزایش شار با افزایش فشار در طی نانوفیلتراسیون پسآب کارخانه نساجی را گزارش نموده اند. González و همکاران (۲۰۰۸)، مایع تخمیر اسید لاتیک را به عنوان خوارک سیستم نانوفیلتراسیون AFC80، استفاده نمودند و افزایش خطی شار تراوه را با افزایش شار گزارش نمودند.

درصد کاهش ویسکوزیته آب پرس تفاله با افزایش دما از ۲۵°C به ۴۰ در درصد مواد جامد محلول ۱، ۲ و ۳ درصد به ترتیب ۲۶/۰۹ و ۲۱/۹۸، ۲۱/۳۲ درصد و با افزایش دما از ۴۰ به ۵۵ در درصد مواد جامد محلول ۱، ۲ و ۳ درصد به ترتیب ۱۶/۴۳، ۲۱/۳۴ و ۱۶/۱۷ درصد است. همین روند در مورد تغییر ویسکوزیته آب با افزایش دما مشاهده می شود. درصد کاهش ویسکوزیته آب با افزایش دما از ۴۰ به ۴۰°C ۲۵/۵ درصد و با افزایش دما از ۴۰ به ۵۵°C ۲۱/۴۲ است. همان طور که در جدول نیز مشاهده می شود در هر سه درصد مواد جامد محلول مورد بررسی، زمانی که دما از ۴۰ به ۴۰°C افزایش می یابد نسبت به زمانی که دما از ۴۰ به ۵۵°C می رسد، درصد کاهش ویسکوزیته بیشتر است. به عبارت دیگر اثر افزایش دما در کاهش ویسکوزیته آب در تغییر دما از ۴۰ به ۵۵°C بیشتر از تغییر دما از ۴۰ به ۴۰°C است. با این حال در بررسی اثر دما بر شار تراوه (شکل ۵) مشاهده می شود که با افزایش دما از ۴۰ به ۵۵°C شار تراوه افزایش بیشتری نسبت به افزایش دما از ۴۰ به ۴۰°C پیدا می کند. میانگین افزایش دما از ۴۰ به ۴۰°C افزایش شار تراوه آب پرس تفاله حدود ۵۰/۹۱ درصد و با افزایش دما از ۴۰ به ۵۵°C، افزایش شار تراوه ۵۴/۵۲ درصد است. بنابراین می توان گفت که در اینجا بزرگتر شدن اندازه منافذ در دمای ۵۵°C در افزایش شار در این دما نقش مهمی ایفا کرده است. البته در این مورد تغییر ضرب نفوذ با افزایش دما از ۴۰ به ۴۰°C نسبت به افزایش دما از ۴۰ به



شکل ۵- اثر دما بر شار تراوه آب پرس تفاله چغندر قند (درصد مواد جامد محلول ۱ درصد و فشار ۲۰ بار)



شکل ۶- اثر فشار بر شار تراوه آب پرس تفاله چغندر قند (بریکس ۱ و دمای ۲۵ °C)

برای غشاء مورد استفاده در این پایان نامه (AFC80)، پس از اعمال مرحله ترشدن و مرحله فشرده سازی غشاء، در دمای ۳۰ درجه سانتیگراد و فشار ۱۲ بار حدود $23/5 \text{ L/m}^2\text{h}$ بود. در صورتی که مقدار این شار در تحقیقی که Warczok و همکاران (۲۰۰۴) انجام شد در دما و فشار مشابه حدود $27 \text{ L/m}^2\text{h}$ گزارش شده است. این اختلاف در شار آب مقطر در شرایط یکسان عملیاتی توجه محققان دیگری از جمله Mohammad و همکاران (۲۰۱۰) را نیز به خود جلب کرده است. به نظر می‌رسد این اختلاف احتمالاً به دلیل فشار به کار گرفته شده در فشرده سازی اولیه غشاء است و احتمال می‌رود در این تحقیق این فشرده سازی در فشار بالاتری انجام گرفته است. در جدول ۳ میزان گرفتگی غشاء در شرایط عملیاتی متفاوت اورده شده است. همان طور که ملاحظه می‌شود با افزایش دما و فشار گرفتگی غشاء افزایش یافته است. نتایج مطالعات سایر محققین نیز نشان می‌دهد با افزایش دما و فشار میزان گرفتگی غشاء افزایش یافته است. نتایج مطالعات Kaya و همکارانش در سال ۲۰۰۹ نشان می‌دهد که

همان طور که در شکل ۶ مشاهده می‌شود در فشارهای پایین شار تراوه از همان ابتدا به حالت پایا می‌رسد اما در فشارهای بالاتر شار تراوه زمان بیشتری برای رسیدن به حالت پایا لازم است. Kaya و همکاران (۲۰۰۹) در تصفیه پساب حاصل از شستشوی درجا با استفاده از نانوفیلتراسیون به بررسی اثر فشار بر شار تراوه نیز پرداختند. آن‌ها شار غشاء NP010 FM را در چهار فشار (۸، ۱۲، ۱۶ و ۲۰ بار) مورد مقایسه قرار دادند. نتایج این تحقیق ایم محققین نیز نشان داد مقادیر کاهش شار در فشارهای پایین تر (۸ و ۱۲ بار) ناچیز و در فشارهای بالاتر (۱۶ و ۲۰ بار) قابل ملاحظه است.

اثر پارامترهای عملیاتی بر گرفتگی

همان طور که در مبحث مواد و روش‌ها عنوان شد جهت ارزیابی میزان گرفتگی غشاء در طی عملیات نانوفیلتراسیون شار آب مقطر قبل و بعد از انجام عملیات اندازه گیری شد. نکته ای که در بررسی منابع قابل توجه بود این است که شار آب مقطر اندازه گیری شده

Schäfer *et al.*, 2000). به همین دلیل است که در برخی از مطالعات محققین که pH محلول خوارک را تغییر داده اند دفع نیز تغییر کرده است. البته همان طور که در شکل ۷ مشخص است میزان تاثیر افزایش غلظت در کاهش درصد دفع در مورد یون‌های تک ظرفیتی بیشتر است. درصد دفع یون‌های دو ظرفیتی (سولفات، کلسیم و منیزیم) بیشتر از یون‌های تک ظرفیتی (کلراید، سدیم و پتاسیم) است. درصد دفع سولفات بیشتر از کلسیم و منیزیم است زیرا دارای بار همنام با غشاء است. با دفع آئیون‌هایی مثل سولفات برای حفظ تعادل بار، یون‌های با بار مثبت نیز دفع می‌شوند (اثر دونان). درصد دفع کلر بیشتر از سدیم و درصد دفع سدیم بیشتر از پتاسیم است. به نظر می‌رسد چند عامل در این مورد دخیل باشند. اولین عامل بار یون است. عامل دوم شاعع یون و ضریب نفوذ آنها است. شاعع یون سدیم بیشتر از پتاسیم است اما ضریب نفوذ آن کمتر از پتاسیم است لذا انتظار می‌رود دفع یون سدیم نزدیک به یون پتاسیم باشد. در مورد کلسیم هم شاعع آن بزرگتر از این دو یون است و هم ضریب نفوذ آن کمتر است، لذا با توجه به بار بیشتر آن درصد دفع بالاتر این یون کاملاً قابل انتظار بود. با توجه به شاعع یون و ضریب نفوذ آن تا حدودی می‌توان بیشتر یا کمتر بودن درصد دفع یون‌ها را نسبت به هم تفسیر نمود. در یک غشاء دارای بار منفی، هر چه بار آئیونی جزء محلول بیش تر باشد، دفع آن توسط غشاء بالاتر خواهد بود که این امر به علت نیروهای دافعه الکتروستاتیک بیش تر بین جزء محلول و غشاء است. به تبع دفع آئیون، بر اساس تعادل دونان دفع کاتیون نیز افزایش می‌یابد.

در تأیید نتایج حاصل از این تحقیق Bargeman و همکاران در سال ۲۰۰۵ گزارش کردند دفع NaCl با افزایش غلظت نمک کاهش می‌یابد. Wang و همکاران در سال ۲۰۰۲ به این نتیجه رسیدند که با افزایش غلظت کلرید سدیم، دفع و شار تراوه در فشارهای مختلف، کاهش می‌یابد. Wang و همکاران در سال ۲۰۰۲ اثر غلظت ساکاریدها بر دفع NaCl را بررسی کردند و گزارش نمودند که دفع NaCl توسط غشاء (غشاء مورد استفاده آنها NF45 بود) تقریباً در غلظت‌های مختلف ساکاریدها ثابت است. این محققین عنوان نمودند که علت این امر احتمالاً این است که ساکاریدها مولکول‌های خشی هستند، و بنابراین اثری بر ساختار منافذ غشاء نمی‌گذارند و به همین دلیل به طور کلی می‌توان گفت دفع NaCl توسط غشاء NF45، تنها به برهمکنش الکتروستاتیک بین یون‌ها و بارهای غشاء بستگی دارد. البته باید توجه داشت که ترکیبات خشی با تاثیر بر ویسکوزیته محلول می‌توانند بر درصد دفع اجزاء باردار تاثیر بگذارند. بسته به ساختار منفذ غشاء‌های NF، وزن مولکولی اجزاء محلول خشی قابل جداسازی در آنها در دامنه چند صد تا چندهزار دالتون است (Palmeri *et al.*, 1999).

کاهش شار ناشی از گرفتنگی در دمای ۴۰ °C به طور قابل ملاحظه ای بیش تر از دمای ۲۵ °C است. لذا همان طور که نتایج این محقق و تحقیق انجام گرفته نشان می‌دهد با افزایش دما گرفتنگی غشاء افزایش می‌یابد و علت این امر احتمالاً اثر دمای بالاتر بر مقدار مواد رسوب کرده در داخل منافذ و روی سطح غشاء است. همان طور که در جدول ۳ مشاهده می‌شود با افزایش فشار گرفتنگی غشاء افزایش یافته است. یکی از دلائلی که می‌توان برای افزایش گرفتنگی با افزایش فشار متصرع شد این است که در هنگام به کارگیری فشارهای بالا، غشاء تا حدودی فشرده می‌شود. این فشرده شدن غشاء ممکن است بر روی شار آب مقطر پس از عملیات فیلتراسیون خوارک اصلی، تاثیر گذاشته و آن را کاهش دهد و بنابراین چون در فرمول تعیین گرفتنگی نسبت اختلاف فشار آب مقطر قبل و بعد از فیلتراسیون آب پرس را بر شار آب مقطر قبل از عملیات محاسبه می‌کنیم، این موضوع باعث افزایش اختلاف شار آب مقطر در قبل و بعد از نانوفیلتراسیون شده و تا حدودی باعث افزایش یافتن عدد گزارش شده برای گرفتنگی گردد. علاوه بر این می‌توان گفت که فشارهای بالا می‌توانند ذارتی را که قطری معادل منافذ غشاء دارند را با اعمال نیرو وارد منافذ غشاء کنند که این ذرات باعث مسدود شدن منافذ می‌شوند. هم چنین با افزایش فشار، غلظت ترکیبات خوارک در سطح غشاء افزایش می‌یابد (لایه پلاریزاسیون غلظت ضخیم تر می‌شود) و این امر نیز باعث می‌شود ترکیباتی که عامل گرفتنگی در غشاء هستند بیشتر در تماس با غشاء قرار گرفته و باعث تشدید گرفتنگی گردد. افزایش گرفتنگی با افزایش غلظت ترکیبات خوارک ورودی قابل پیش‌بینی است زیرا هر چه غلظت ترکیباتی که عامل گرفتنگی در غشاء هستند بیشتر باشد مسلماً در زمان معین (۶۰ دقیقه فیلتراسیون در این پروژه) میزان گرفتنگی غشاء بیشتر خواهد بود. برای روشن تر شدن اثر درصد مواد جامد محلول، دما و فشار بر درصد گرفتنگی غشاء نانوفیلتراسیون آب پرس تفاله چند میانگین گرفتنگی در هر مورد به صورت کلی در جدول ۳ نشان داده شده است. همان طور که ملاحظه می‌شود، به طور کلی گرفتنگی غشاء نانوفیلتراسیون AFC80 در عملیات فیلتراسیون آب پرس تفاله چند قند چندان زیاد نیست و این به لحاظ صنعتی شدن این فرآیند امتیاز خوبی محسوب می‌شود.

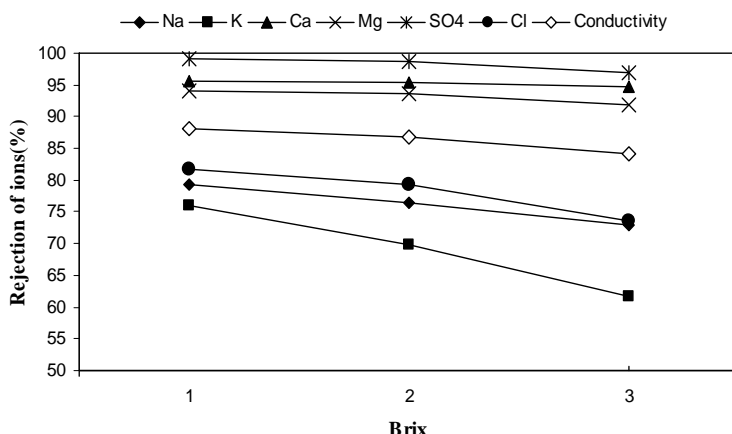
اثر پارامترهای عملیاتی بر درصد دفع یون‌ها و هدایت الکتریکی اثر غلظت

نتایج حاصل از داده‌های تجربی نشان داد که با افزایش غلظت آب پرس تفاله، درصد دفع یون‌های مختلف کاهش می‌یابد (شکل ۷). این امر احتمالاً در نتیجه پوشش یافتن بار^۱ است که در نتیجه آن

1- Charg shielding

جدول ۳- درصد گرفتگی در غلظت ها و شرایط عملیاتی مختلف (هر یک از مقادیر میانگین حداقل ۳ داده است)

گرفتگی(%)	
۷/۷۵	۱
۱۰/۵۷	۲
۱۱/۴۴	۳ درصد مواد جامد محلول (بر حسب بربیکس)
۹/۲۱	۲۵
۹/۷۹	۴۰
۱۰/۷۶	۵۵ دما (°C)
۹/۲۷	۱۰
۹/۷۴	۱۵ فشار (bar)
۱۰/۷۵	۲۰



شکل ۷- درصد دفع یون ها و هدایت الکتریکی در طی نانوفیلتراسیون آب پرس تفاله چغندر قند در درصد های مختلف مواد جامد محلول

ها می شود، اما تاثیر آن بر یون سولفات، کلسیم و منیزیم کمتر از کلر، سدیم و پتاسیم است. در زمینه کاهش درصد دفع یون ها با افزایش دما چند عامل را می توان بر شمرد. یکی از این عوامل این است که با افزایش دما، ویسکوزیته کاهش و ضریب نفوذ جزء محلول افزایش می یابد. از طرفی افزایش دما باعث افزایش قطر منافذ غشاء (خصوصا غشاء های پلی مری) شده و لذا مقاومت غشاء در برابر عبور جزء محلول کاهش و در نتیجه شار آن جزء افزایش می یابد.

اثر اختلاف فشار عملیاتی

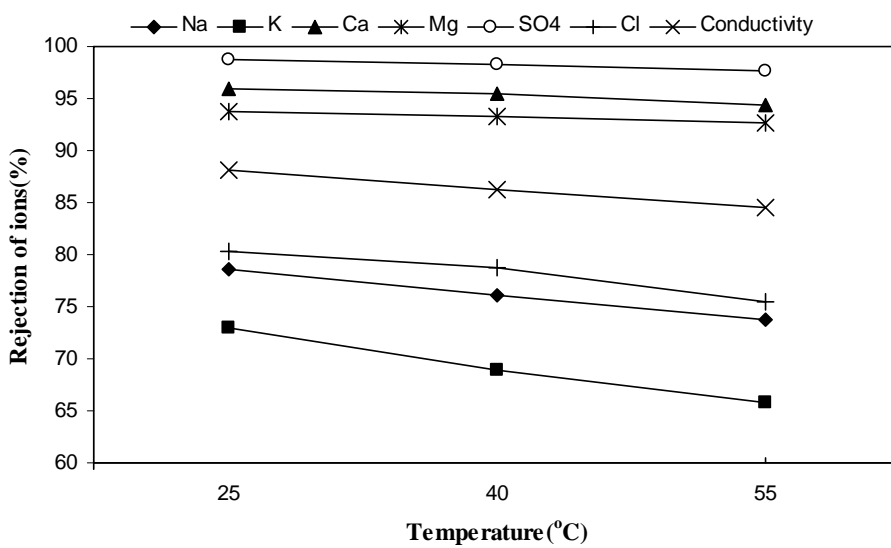
با افزایش فشار عملیاتی درصد دفع یون های آب پرس تفاله چغندر افزایش پیدا کرد (شکل ۹). افزایش فشار معمولاً منجر به افزایش کارایی جداسازی (حذف) در غشاء می شود. البته اثر فشار بر دفع در تمام غشاء ها معنی دار نیست.

از طرفی دفع نمک به وسیله این غشاهای بر مبنای برهمنکشن های الکتروستاتیک بین یون ها در محلول و منافذ باردار غشاء است. لذا در یک محلول واقعی هم چون آب پرس تفاله، که ترکیبات یونی و غیر یونی مختلفی در آن وجود دارد عوامل مختلفی در میزان درصد دفع اجزاء دخالت خواهند داشت.

Schäfer و همکاران در سال ۲۰۰۴ اثر غلظت کلسیم را بر دفع یا انتقال دیگر گونه های محلول (سدیم و مواد ارگانیک) معنی دار توصیف کرد. اعتقاد این محققین بر این بود که این اثر در نتیجه بیشتر شدن ایجاد کمپلکس و گرفتگی توسط کلسیم در مورد مواد آلی و هم چنین اثر آن بر خنثی سازی (اثر دونان) در مورد سدیم است.

اثر دما

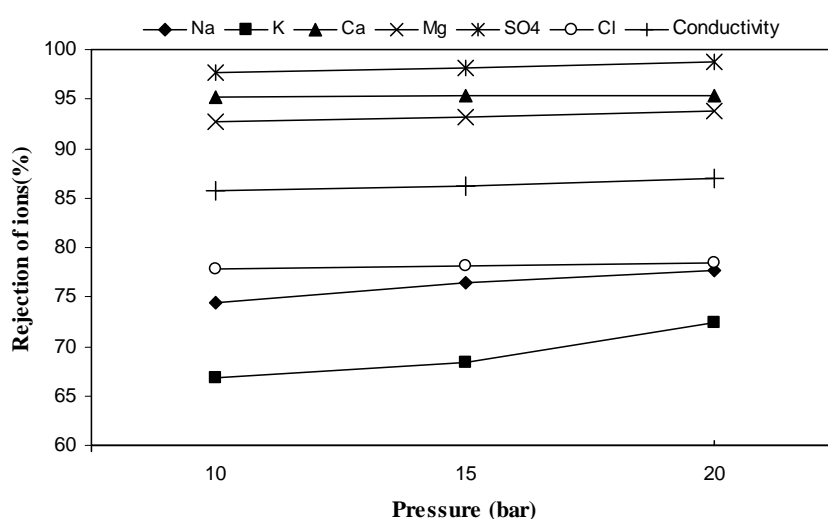
همان طور که در شکل ۸ مشاهده می شود، بالا رفتن دمای خوراک در همه حالات باعث پایین آمدن درصد دفع یون ها و نمک



شکل ۸- درصد دفع یون ها و هدایت الکتریکی در طی نانوفیلتراسیون آب پرس تفاله چگندر قند در دماهای مختلف فرآیند

می شود. از طرف دیگر با افزایش فشار و افزایش شار آب، یون های بیش تری به سمت سطح غشاء انتقال داده می شوند. با افزایش شار تراوه، پلاریزاسیون غلظت نیز تشدید می شود و این مسئله باعث کاهش دفع یون خواهد شد (Seidel *et al.*, 2002). با وجود چنین تفسیرهایی می توان نتیجه گیری کرد که افزایش یا کاهش یافتن درصد دفع جزء محلول بستگی به این دارد که کدام مکانیسم فوق الذکر در آزمایشات تجربی اهمیت بیش تری داشته و کدامیک اهمیت کمتری دارد. وا و همکاران در تفسیر افزایش درصد دفع یون های ایندیوم، اشاره به کم اهمیت تر بودن اثر دوم در آزمایشات خود دارد.

به عنوان مثال Wu و همکاران در سال ۲۰۰۴ به بررسی اثر پارامترهای عملیاتی بر دفع یون ایندیوم در سه نوع غشاء نانوفیلتراسیون (ES10C، ES10 و NRT 7450) پرداختند. نتایج این محققین حاکی از آن است که افزایش فشار باعث افزایش دفع در هر سه نوع غشاء می شود اما این افزایش در غشاء ES10C با اهمیت نیست. دانشمندان معتقدند که با افزایش فشار، شار حلال (در اینجا آب) افزایش می یابد. در حالی که شار یون که هم به صورت ممانعت فضایی و هم ممانعت الکتریکی توسط غشاء باز نگه داشته می شود به همان نسبت افزایش نمی یابد. این موضوع باعث کاهش غلظت یون در فاز تراوه (که به آن اثر رقیق شدن می گویند)



شکل ۹- درصد دفع یون ها و هدایت الکتریکی در طی نانوفیلتراسیون آب پرس تفاله چگندر قند در اختلاف فشارهای عرضی مختلف

با بار غشاء فاکتوری موثر در دفع الکتروولیت های آنها محسوب می شود. ظرفیت بالاتر یون های همنام، دافعه قوی تری با بار غشاء ایجاد کرده و دفع بیش تر آن الکتروولیت را به همراه خواهد داشت. در مورد دو الکتروولیت که بارهای مشابه و همنام دارند، جاذبه یون غیرهمنام آن الکتروولیت و غشاء فاکتور کنترل کننده ثانوی، برای دفع الکتروولیت خواهد بود و هر چه یون غیرهمنام ظرفیت بالاتری داشته باشد، جاذبه قوی تر و در نتیجه دفع الکتروولیت کمتر خواهد بود (Wang *et al.*, 2002) Fersi (Dahabi و ۲۰۰۸) افزایش درصد دفع هدایت را با افزایش اختلاف فشار عملیاتی در نانوفیلتراسیون پس از کارخانه نساجی گزارش نمود. آنها گزارش نمودند که با افزایش فشار تا ۹ بار درصد دفع افزایش و پس از آن با افزایش فشار دفع تقریباً ثابت می ماند. هم چنین این محققین مقدار دفع بالایی برای یون های دو ظرفیتی منیزیم ($>95\%$) و سولفات ($>98\%$) گزارش نمودند. آنها دفع یون های تک ظرفیتی را کمتر از یون های دو ظرفیتی گزارش نمودند و علت آن را وزن مولکولی پایین تر این یون ها بیان کردند.

Mohammad و همکاران (۲۰۱۰) نیز نشان دادند که با افزایش NaCl دفع NaCl افزایش می یابد. البته نتایج این پژوهشگران حاکی از آن است که اثر فشار بر دفع NaCl در غلظت های پائین نمک، معنی دار نیست. این امر احتمالاً به این علت است که مکانیسم انتقال در فشارهای پائین اساساً بر اساس نفوذ است. نتایج این تحقیق منطبق بر روند مشاهده شده در مطالعات Wang و همکاران (۲۰۰۲) در زمینه اثر فشار بر دفع الکتروولیت های آنیونی تک ظرفیتی و دو ظرفیتی بود. این محققین عنوان کردند که درصد دفع برای الکتروولیت های دو ظرفیتی بالای ۹۰ درصد است و با افزایش فشار درصد دفع آن ها با شبیه کمتری نسبت به الکتروولیت های تک ظرفیتی افزایش می یابد. دفع KCl و NaCl تقریباً مشابه گزارش شده است که در این تحقیق دفع سدیم کمی بیش تر از پتانسیم گزارش شده است. اما دفع این دو یون تقریباً نزدیک به هم است و اختلاف چندانی در آن مشاهده نمی شود. این موضوع را می توان از طریق بر همکنش های الکتروستاتیک (به عبارت دیگر جاذبه و دافعه) بین یون های الکتروولیت و بار غشاء توضیح داد. غشاء AFC80 در لایه نازک فعال خود در pH حدود ۶-۷ دارد اندکی بار منفی است. در نتیجه دفع یون های هم نام

منابع

- شهیدی نوقابی، م. ۱۳۸۵. به کارگیری اولترافیلتراسیون در کاهش رنگ و بهبود کیفیت شربت رقیق حاصل از چغندر قند، پایان نامه کارشناسی ارشد، دانشکده کشاورزی، دانشگاه فردوسی مشهد.
- Afonso, M., and Yafiez R., 2001, Nanofiltration of wastewater from the fishmeal industry, Desalination, 139: 429.
- AOAC, "Official Methods of Analysis of AOAC INTERNATIONAL(2005) 18th ed, Vol 1. AOAC INTERNATIONAL, Gaithersburg, MD, USA, Official Methods.
- Bergrnan, R. A., 1995, Membrane softening versus lime softening in Flodda--a cost comparison update. Desalination, 102: 11-24.
- Bargeman, G., Vollenbroek, J. M., Straatsma, J., Schroën, C. G. P. H., Boom, R. M., 2005, Nanofiltration of multi-component feeds. Interactions between neutral and charged components and their effect on retention Journal of Membrane Science 247: 11–20
- Bogliolo, M., Bottino, A., Capanneli, G., De Petro, M., Servida, A., 1996, Clean water recycle in sugar extraction process: Performance analysis of reverse osmosis in treatment of sugar beet press water. Desalination 108: 261-271.
- Conlon, W. J., and McClellan, S. A., 1989, Membrane softening: treatment process comes of age, J. AWWA, 81(11): 47–51.
- Decloux, M., Tatoud, L., and Mersad, A., 2000 Removal of colorants and polysaccharides from raw cane sugar remelts by ultrafiltration. Zuckerindustrie, 125:106-112.
- Dutre, B., and Tragardh, G., 1994, Macrosolute-microsolute separation by ultrafiltration: a review of diafiltration processes and applications, Desalination 95: 227–267.
- Eriksson, P., 1988, Nanofiltration extends the range of membrane filtration. Environ. Prog., 7(1): 58–62.
- Fersi, C., and Dahabi, M., 2008, Treatment of textile plant effluent by ultrafiltration and/or nanofiltration for water reuse. Desalination 222, 263–271.
- González, M. I., Alvarez, S., Riera, F. A., and Álvarez, R., 2008, Lactic acid recovery from whey ultrafiltrate fermentation broths and artificial solutions by nanofiltration. Desalination 228, 84–96.
- Guilbaud, J., Massé, A., Andrès, Y., Combe, F., Laundry, P. J., 2010, Water recycling in ship by direct nanofiltration with tubular membranes. Resources, Conservation and Recycling. xxx: xxx–xxx
- Hagmeyer, G., and Gimbel, R., 1998, Modeling the salt rejection of nanofiltration membranes for ternary ion mixtures and for single salts at different pH values, Desalination 117: 247–256.
- Her, N., Amy, G., and Jarusutthirak, C., 2000, Seasonal variations of nanofiltration (NF) foulants: Identification and control. Desalination 132(1–3): 143–160.

- Huang, R. Y. M., 1991, Pervaporation membrane separation processes, Elsevier, Amsterdam.
- ICUMSA., 2000, International Commission for Uniform Methodes of Sugar Analysis. Methods Book.
- Kaya, Y., Barlas, H., Arayici, S., 2009, Nanofiltration of Cleaning-in-Place (CIP) wastewater in a detergent plant: Effects of pH, temperature and transmembrane pressure on flux behavior. *Separation and Purification Technology*. 65: 117–129.
- Lee, S., and Lee, C. H., 2000, Effect of operating conditions on CaSO₄ scale formation mechanism in nanofiltration for water softening. *Water Res.* 34(15): 3854–3866.
- Mohammad, A. W., Kadir Basha, R., Leo, C. P., 2010, Nanofiltration of glucose solution containing salts: Effects of membrane characteristics, organic component and salts on retention. *Journal of Food Engineering*, 97: 510–518.
- Mulder, M., 1991 Basic principles of membrane technology, Kluwer Academic Publishers, Dordrecht.
- Palmeri, J., Blanc, P., Larbot, A., and David, P., 1999, Theory of pressure-driven transport of neutral solutes and ions in porous ceramic nanofiltration membranes, *J. Membr. Sci.* 160: 141–170.
- Rautenbach, R., and Gröschl, A., 1990, Separation potential of nanofiltration membranes, *Desalination* 77: 73–84.
- Schaep, J., Van der Bruggen, B., Vandecasteele, C., and Wilms, D., 1998a, Influence of ion size and charge in nanofiltration, *Separation Purification Technol.* 14: 155–162.
- Schaep, J., Van der Bruggen, B., Uytterhoeven, S., Croux, R., Vandecasteele, C., Wilms, D., Van Houtte, E., and Vanlerberghe, F., 1998b, Removal of hardness from groundwater by nanofiltration, *Desalination*, 119: 295–302.
- Schäfer, A. I., Fane, A. G., and Waite, T., 2000, Fouling effects on rejection in the membrane filtration of natural waters, *Desalination*, 131: 215.
- Seidel, A., Waypa, J., and Elimelech, M., 2002, Role of charge (Donnan) exclusion in removal of arsenic from water by a negatively charged porous nanofiltration membrane, *Environ. Eng. Sci.* 18 (2): 105.
- Sombekke, H. D. M., Voorhoeve, D. K., and Hiemstra, P., 1997, Environmental impact assessment of groundwater treatment with nanofiltration, *Desalination*, 113: 293–296.
- Tay, J. H., Liu, J., and Sun, D. D., 2002, Effect of solution physic–chemistry on the charge property of nanofiltration membranes. *Water Research*. 36: 585–598.
- Timmer, J. M. K., 2001, Properties of nanofiltration membranes ; model development and industrial application. Timmer. - Eindhoven : Technische Universiteit Eindhoven.
- Timmer, J. M. K., Keurentjes, J. T. F., 1999, Mogelijkheden van energiebesparing in de industrie door toepassing van membraanfiltratie, nanofiltratie in het bijzonder, report MINT-project 3385.02/04.83 Ontwikkeling van engineering-tools die de implementatie en optimalisatie van nanofiltratieprocessen in de industrie op eenvoudige wijze ondersteunen, NOVEM, Utrecht.
- Van der Bruggen, B., Schaep, J., Wilms, D., and Vandecasteele, C., 1999, Influence of molecular size, polarity and charge on retention of organic molecules by nanofiltration, *J. Membr. Sci.* 156: 29–41.
- Van der Bruggen, B., and Vandecasteele, C., 2002, Distillation vs. membrane filtration: overview of process evolutions in seawater desalination, *Desalination*, 143: 207–218.
- Van der Bruggen, B., and Vandecasteele, C., 2003, Removal of pollutant from surface water and ground water by nanofiltration: overview of possible application in the drinking water industry, *Environ. Pollution*, 435–445.
- Van der Bruggen, B., Hawrijk, I., Cornelissen, E., and Vandecasteele, V., 2003, Direct nanofiltration of surface water using capillary membranes: comparison with flat sheet membranes, *Separ. Purif. Technol.*, 31: 193–201.
- Visvanathan, C., Marsono, B., and Basu, B., 1998, Removal of THMP by nanofiltration: effects of interference parameters, *Water Res.*, 32(12): 3527–3538.
- Vrouwenvelder, H. S., Van Paassen, J. A. M., Folmer, H. C., Hofman, J. A. M. H., Nederlof, M. M., and Van der Kooij, D., 1998, Biofouling of membranes for drinking water production. *Desalination* 118(1–3): 157–166.
- Wang, X. L., Wang, W. N., and Wang, D. X., 2002a, Experimental investigation on separation performance of nanofiltration membranes for inorganic electrolyte solutions. *Desalination*, 145: 115–122.
- Wang, X. L., Zhang, C., and Ouyang, P., 2002b, The possibility of separating saccharides from a NaCl solution by using nanofiltration in diafiltration mode. *Journal of Membrane Science* 204: 271–281.
- Wang, Z., Liu, G., Fan, Z., Yang, X., Wang, J., and Wang, S., 2007, Experimental study on treatment of electroplating wastewater by nanofiltration, *J. Membr. Sci.* 305: 185–195.
- Warczok J., Ferrando, M., López, F., and Güell C., 2004, Concentration of apple and pear juices by nanofiltration at low pressures. *Journal of Food Engineering*. 63: 63–70.
- Waypa, J., Elimelech, M., and Hering, J., 1997, Arsenic removal by RO and NF membranes, *J. AWWA*, 89(10): 102–114.
- Wiesner, M. R., and Chellam, S., 1999, The promise of membrane technologies. *Environ. Sci. Technol.* 33(17): 360A–366A.
- Wu, M., Sun, D. D., and Tay, J. H., 2004, Effect of operating variables on rejection of indium using nanofiltration membranes. *Journal of Membrane Science* 240, 105–111.
- Xu, Y., and Lebrun, R. E., 1999, Investigation of the solute separation by charged nanofiltration membrane: effect of pH, ionic strength and solute type, *J. Membr. Sci.* 158: 93–104.